

## NOVÁ INTERFERENČNO-DISPERZNÁ SÚSTAVA

JAROMÍR HAJDA, Bratislava

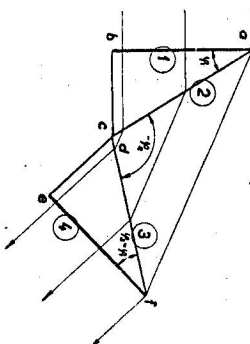
Článok obsahuje návrh novej interferenčno-disperznej sústavy využívajúcej mnohonásobné interferences svetla. Skumajú sa optické vlastnosti tejto sústavy, ako aj možnosť jej upotreby ako monochromátora alebo optického filtrovacieho zariadenia.

### Návrh sústavy

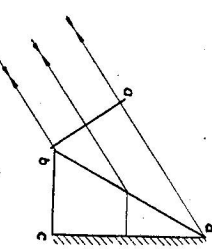
Ked' vydeme z doteraz známych obmien Fabryho-Perotovho (FP) interferometra a bežne známych vlastností FP interferometra, je na mieste otázka, či je možné využiť mnohonásobného interferenciu svetla nie ako pri klasickom FP interferometri na vytvorenie uhlového filtra s rotačnou súmernosťou (lebo FP interferometer v podstate funguje ako taký filter), ale na vytvorenie uhlového filtra pozbaveného rotačnej súmernosti jeho funkcie. Tak by bolo možné využiť aspoň častočne vynikajúce vlastnosti FP interferometra, najmä jeho vysokú rozlišiaciu schopnosť a vysokú svetlosť v maximálnych prieplustnostiach na vytvorenie spektrografického alebo spektroskopického zariadenia novej konцепcie, ktorého vlastnosti by mohli azda predstavovať určité zlepšenie oproti známym prístrojom používaným v spektroskopii. Hľadali sme preto také riešenie, ktoré by umožnilo vytvoriť interferenčný spektroskopický prístroj, ktorý by fungoval podľa svojej polohy ako interferenčný monochromátor s meniteľnou vlnovou dĺžkou preprísťaného svetla.

V tejto práci sú dané výsledky štúdia vlastností disperzných hranolových sústav, ktoré by mali pri vstupe, ako aj pri výstupe čiastočne prieplustné zrkadliace roviné plochy kolme na smer lúčov, prechádzajúcich disperznou sústavou v polohe najmenšej odchýlky. Takéto sústavy neboli doteraz navrhované a nebol ani preskúmané. Na obr. 1 a 2 sú ako príklady navrhovanej úpravy znázornené dve takto upravené disperzne sústavy. Obr. 1 predstavuje takto upravenú Youngovu-Thollonovu sústavu vhodnú pre použitie v spektroskopoch a monochromátoroch. Prvý hranol je spojený s optikou kolimátora a druhý s objektívom fotokomory alebo výstupného dalekohľadu. Otačaním obidvoch hranolov okolo osi prechádzajúcej

priesečníkom vnútorných lomných plôch hranolov, je možné nastať celú sústavu do polohy minima deviácie pre libovoľnú dĺžku svetla. Predpokladajme týto sústavu upravenú tak, že vstupná ( $a - b$ ) a výstupná ( $e - f$ ) plocha, práv a posledná plocha disperznej sústavy, sú pozkadené a len čiastočne prepustiaju svetlo. Keď predpokladáme, že lúče určitej vlnovej dĺžky prechádzajú sústavou v polohe minima deviácie, prechádzajú tiež lúče obidvoma pozkadenými plôchami kolmo. Po



Obr. 1. Interferenčno-disperzná sústava zložená z dvoch  $30^\circ$  hranolov. — Obr. 2. Interferenčno-disperzná sústava odvodená z autokolimácej hranolovej disperznej sústavy.



opakovanych odrazoch na týchto plochach interferujú medzi sebou pri výstupe zo sústavy lúče defázované o násobky väčšiny  $\delta$ , rovnajúcej sa  $4\pi/\lambda$  násobku dĺžkového rozdielu medzi pozkadenými plochami. Výsledne, v minime deviácie prechádzajúce žiarenie je dané, keď zanedbáme absorpciu svetla na pozkadených plochách, vzťahom

$$I = I_0 C \tau^2 (e^{i\omega t} + q^2 e^{i\omega(t-\delta)} + \dots) \quad (1)$$

( $\tau$  = súčinatel priepustnosti,  $q$  = súčinatel odraznosti), čo dáva pre výslednú intenzitu svetla prechádzajúceho disperznou sústavou v minime deviácie z teórie FP interferometra známy Airyo vztah

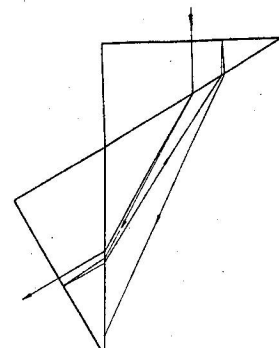
$$I = I_0 C \frac{\tau^2}{(1-q)^2} \cdot \frac{1}{1 + \frac{4q}{(1-q)^2} \sin^2 \frac{\sigma}{2}} \quad (2)$$

Pre lúče neprechádzajúce sústavou v minime deviácie (md) bude platíť zrejme iný vzťah, lebo tieto lúče sa pri opäťovných odrazoch na pozkadených plochach nevracajú späť po rovnakej dráhe. Vidíme však, že disperzná sústava podľa obr. 1 funguje pre minimum deviácie ako FP interferometer.

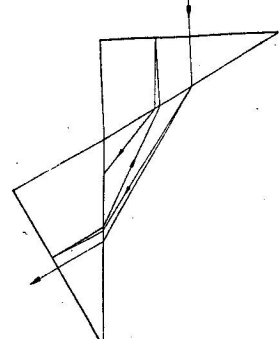
Podobne funguje aj sústava podľa obr. 2 a všeobecne každá disperzná hranolová sústava, v ktorej pri vstupe a výstupe lúče prechádzajú čiastočne pozkadenými rovnými plochami kolmými na chod lúčov v md. Sústava podľa obr. 2 by mohla byť obzvlášť zaujímavá, lebo by bolo možné na ňu premeniť autokolimáčtnú disperznú sústavu podľa Littrowa vložením čiastočne pozkadennej rovnnej dosičky medzi disperzný hranol a objektív.

Vo všetkých prípadoch treba pamätať na to, že ide o interferenčný prístroj a že disperzná sústava musí byť upravená tak, aby bolo možné pre rôzne vlnové dĺžky nastaviť dráhový rozdiel medzi pozkadenými plochami tak, aby sa rovnal celému počtu polovín svetla.

Prie podrobnejšie študium sa zvolila sústava podľa obr. 1, odvodená z Youngovej-Thollonovej disperznej sústavy. Dôvodom pre túto volbu bolo, že pre väčšu prehľadnosť v chodoch lúčov oproti sústave na obr. 2 možno výsledky získané pri tejto sústave skôr preniesť na iné sústavy. Poznamenajme ďalej, že volbou Youngovej-Thollonovej sústavy sa ešte nijako neobmedzujeme na použitie hranolov s lomným uhlom okolo  $30^\circ$ , ale že pokladáme za možné realizovať takú sústavu aj pre veľmi malé lomné uhly, teda pri spojení dvoch klinov o lomnom uhle len niekoľko stupňov, prípadne zlomku stupňa. Treba tu výslove upozorniť, že Youngova-Thollonova sústava nám slúži len ako konkretný príklad pre štúdium vlastností disperznych sústav, že však Youngova-Thollonova sústava vystrojená zrkadiacimi rovinami predstavuje novú optickú sústavu. Proti pôvodnej Youngovej-Thollonovej sústave má navrhovaná sústava nové vlastnosti, lebo zrkadiaci roviny ju premenili z disperznej sústavy na sústavu interferenčno-disperznú, využívajúcu mnohonásobnú interferenciu svetla podobne ako pri FP interferometri.



Obr. 3. Chody lúčov vlnovej dĺžky  $8000 \text{ \AA}$  sústavou zloženou z dvoch hranolov z ľahkého flintového skla, keď sú nastavené na minimum deviácie pre vlnovú dĺžku  $5000 \text{ \AA}$ . — Obr. 4. Chody lúčov vlnovej dĺžky  $4861 \text{ \AA}$  v sústave podľa obr. 3.



Na obr. 3 je naznačený chod lúčov vlnovej dĺžky  $8000 \text{ \AA}$  v disperznej sústave nastavenej na md pre vlnovú dĺžku  $6000 \text{ \AA}$ . Hranoly sú zo skla (v tomto prípade z ľahkého flintového skla SF 4 podľa katalógu Schott). Na obr. 4 sú chody lúčov pre hranoly zo skla ako na predošom obrazze, ale pre Franhoferovu čiaru F ( $4861 \text{ \AA}$ ). Z obr. 3 a 4 vidno, ako sa lúče mimo polohu md postupne odchýlujú od prechodu pod  $90^\circ$  uhlom cez pozkadené plochy. Ak veličina  $\delta$  sa rovná násobku  $2\pi$ , máme potom pre lúče v minime deviácie, pri zanedbaní strat svetla absorpciou, intenzitu

$$I = I_0 C \frac{\tau^2}{(1-q)^2} = I_0 C \quad (3)$$

( $C$  je konštantá) a dá sa očakávať, že pre lúče mimo  $m\delta$  bude intenzita svetla klesať v dosledku zmenených fázových vzťahov medzi lúčmi vychádzajúcimi zo sústavy.

Kedže disperzná sústava posobí v  $m\delta$  ako FP interferometer, musí to platiť aj pre kose lúče (lúče prechádzajúce sústavou sklonene na rovinu hlavného rezu). Lomné hrany disperznych hranolov pokladame za vzájomne rovnobežné. Keď nastavime hranoly tak, aby  $\delta = k \cdot 2\pi$  bude maximum v strede zorného pola objektívza disperznom sústavou vystriedané minimum pre sklon lúčov na rovinu hlavného rezu daný uholom  $\varepsilon$

$$\delta \frac{\lambda}{2\pi} \cos \varepsilon \doteq k\delta \left(1 - \frac{\varepsilon^2}{2}\right) = \left(k - \frac{1}{2}\right)$$

Odtiaľ dostaneme pre  $\varepsilon$  jednoduchý vzťah odpovedajúci prvemu minimu v smere kolmom na rovinu hlavného rezu

$$\varepsilon^2 = \frac{1}{k}. \quad (4)$$

V časti venovanej výpočtom bude tento vzťah numericky vyhodnoteny.

Pri kosých lúčoch treba rátať s tým, že sa lámú pri prechode cez hranoly tak, ako by pre ich priemery na rovinu hlavného rezu platil zvážený index lomu daný Thollonovym vzorcem

$$n_e = \sqrt{n^2 + (n^2 - 1) \tan^2 \varepsilon} \doteq n + \frac{n^2 - 1}{2n} \varepsilon^2.$$

Ked uvažujeme veľkosť tohto príastku pre uhol  $\varepsilon$  podľa vzorca (4), vidíme, že pre pomerné veľké interferenčné rady  $k$  bude vo väčšine prípadov príastok  $\frac{n^2 - 1}{2n} \varepsilon^2$  zanedbateľný. Ak by sme chceli vziať do úvahy i tento vplyv, museli by sme pre kose lúče vypočítať zmienu  $d\lambda$  alebo  $d\nu$  v polohe  $m\delta$  podľa vzťahu

$$d\lambda = \frac{n^2 - 1}{2n} \varepsilon^2 \left| \frac{dn}{d\varepsilon} \right|, \quad (5)$$

lebo čím by boli lúče kosejšie, tým viac by sa odporvadajúca im poloha  $m\delta$  posunula k väčším vlnovým dĺžkam. Tento posuv k väčším  $\lambda$  by pôsobil proti zakriveniu obrazu spektrálnej čiary, ktoré lúče by boli v  $m\delta$ . Spôsobil by však, že by sa maximálna prieplustnosť pre kose maximálna posunulo smerom k väčším vlnovým dĺžkam oproti vlnovej dĺžke stredného (nultého) maxima, a tým by sa o niečo porušila monochromaticosť spektrálnej oblasti prepravanej disperznej sústavou. Vplyv kosesti lúčov na monochromaticosť sprepúštených lúčov bude však vo väčšine prípadov zanedbateľný. Preto je možné nedbať ani na ďalší následok kosesti obstaranutý v tom, že spôsobená zmenna vlnovej dĺžky v  $m\delta$  prechádzajúceho svetla mení o niečo interferenčný rad kosejch lúčov.

### Štúdium základných vlastností disperzno-interferenčnej sústavy

Pre objasnenie funkcie opisanej disperzno-interferenčnej sústavy sa vychádzalo z týchto predpokladov:

1. V  $m\delta$  funguje sústava ako FP interferometer s fázovým rozdielom rovinným  $\delta$  medzi jednotlivými vychádzajúcimi zväzkami.
2. Pre male zmeny vlnovej dĺžky (vlnočtu) použitého svetla oproti svetu ( $\lambda_0, \nu_0$ ) prechádzajúciemu sústavou v  $m\delta$  predpokladame, že sa spočítavajú a vzájomne interferujú všetky lúče, ktoré vychádzajú zo sústavy rovnobežne.

Podľa druhého predpokladu budú v ohniskovej rovine objektívza disperznej sústavy interferovať medzi sebou lúče prešle len raz cez disperznú sústavu s odchylikou vlnovej dĺžky  $(d\lambda)_2$ , s lúčmi prešlymi tri razy cez sústavu a s odchylikou vlnovej dĺžky  $(d\lambda)_3$ , s lúčmi prešlymi piatimi razy cez sústavu a s odchylikou  $(d\lambda)_5$ , atď.; všeobecne teda lúče prešle  $(2h - 1)$  raz cez sústavu a s odchylikou  $(d\lambda)_h$  oproti vlnovej dĺžke  $\lambda_0$  v  $m\delta$  (obr. 5). Treba stanoviť veľkosť odchyliok  $(d\lambda)_2, (d\lambda)_3, \dots, (d\lambda)_h$  v závislosti od  $(d\lambda)_1$  od počtu prechodov a od rozmerových charakteristik disperznej sústavy. Vyčiadzame pri tomto výpočte zo známych základných vzťahov

$$\begin{aligned} \varphi_1 &= r_1 - r_2, \\ \varphi_2 &= i_2 - i_3, \\ \varphi_3 &= \varphi_1 = r_3 - r_4. \end{aligned} \quad (6)$$

Obr. 5. Vzájomne interferenčné lúče v interferenčno-disperznej sústave.

V polohe  $m\delta$  je  $r_1 = r_4 = 0$  a  $i_2 = -i_3 = \varphi_2/2$ , kde  $i$  a  $r$  s príslušným indexom značia uhly dopadu a lomu na plochách označených indexom.

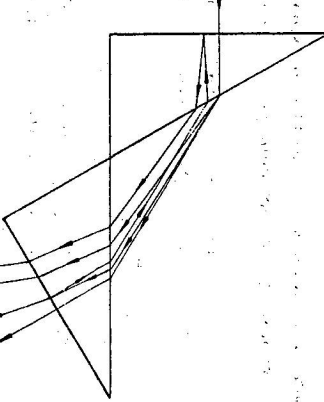
Pre dĺžku chodu lúčov v prvom hranole máme

$$L_1 = \frac{M_{2a}}{\cos r_1} \sin \varphi_1. \quad (7a)$$

Písmenom  $M$  s indexom značíme v ďalšom dĺžku príslušnej lomnej plochy. Index  $a$  značí, že ide na príslušnej lomnej ploche len o vzdialenosť od lomnej hrany. Index  $b$  označuje doplnok tejto vzdialenosť na príslušnú hodnotu  $M$ .

Pre vzdľosť klin medzi hranolmi máme

$$L_2 = -\frac{M_{2b}}{\cos i_3} \sin \varphi_2. \quad (7b)$$



a pre druhý hranol platí

$$L_3 = \frac{M_{3a}}{\cos r_4} \sin \varphi_1. \quad (7c)$$

Pre polohu nad dostenanem z týchto vzťahov, že celková optická dráha pri jednom prechode disperznou sústavou je

$$\Sigma nL = 2n_1 M_1 \operatorname{tg} \varphi_1 \quad (8)$$

a pre fázový rozdiel  $\delta$  máme vzťah

$$\delta = \frac{2\pi}{\lambda} 2\Sigma nL = 4n_1 M_1 \operatorname{tg} \varphi_1 \frac{2\pi}{\lambda}. \quad (9)$$

Diferencovaním Snellovho-Descartesovho zákona pre jednotlivé lomné plochy, ako aj vzťahov (6) pre nemenné  $\varphi_1, \varphi_2$  a  $\varphi_3$ , dostenaneme

$$\begin{aligned} \frac{di_2}{dl} &= \frac{\sin r_2}{\cos i_2} \cdot \frac{dn_1}{dl} + \frac{\cos r_2}{\cos i_2} \cdot \frac{dr_2}{dl}, \\ \frac{di_3}{dl} &= \frac{di_2}{dl}, \end{aligned}$$

$$\frac{dr_3}{dl} = \left( \frac{\sin r_2}{\cos i_2} \cdot \frac{\cos i_3}{n_1 \cos r_3} - \frac{\sin r_3}{n_1 \cos r_3} \right) \frac{dn_1}{dl} + \frac{\cos r_2}{\cos i_2} \cdot \frac{\cos i_3}{\cos r_3} \cdot \frac{dr_1}{dl},$$

$$\begin{aligned} \frac{dr_4}{dl} &= \left( \frac{\sin r_2}{\cos i_2} \cdot \frac{\cos i_3}{n_1 \cos r_3} - \frac{\sin r_3}{n_1 \cos r_3} \right) \frac{dn_1}{dl} + \frac{\cos r_2}{\cos i_2} \cdot \frac{\cos i_3}{\cos r_3} \cdot \frac{dr_1}{dl}, \\ \frac{di_4}{dl} &= \left( \frac{\sin r_4}{\cos i_4} + \frac{\sin r_2}{\cos i_2} \cdot \frac{\cos i_3}{\cos r_3} \cdot \frac{\cos r_4}{\cos r_3} - \frac{\sin r_3}{\cos r_3} \cdot \frac{\cos r_4}{\cos i_4} \right) \frac{dn_1}{dl} + \right. \\ &\quad \left. + n_1 \frac{\cos r_2}{\cos i_2} \cdot \frac{\cos i_3}{\cos r_3} \cdot \frac{\cos r_4}{\cos i_4} \cdot \frac{dr_1}{dl} \right). \end{aligned}$$

Pre ďalší výpočet sú dôležité vzorce pre  $\frac{dr_4}{dl}$  a  $\frac{di_4}{dl}$ , ktoré sa pre polohy blízke nadajú zjednodušiť na tvar

$$\begin{aligned} \frac{dr_4}{dl} &= \left( -\frac{2}{n_1} \operatorname{tg} \varphi_1 \right) \frac{dn_1}{dl} + \frac{dr_1}{dl}, \\ \frac{di_4}{dl} &= (-2 \operatorname{tg} \varphi_1) \frac{dn_1}{dl} + n_1 \frac{dr_1}{dl}. \end{aligned} \quad (10)$$

Šípkou nad  $dr_4$  a  $di_4$  v ďalšom značme, že ide o zmeny uhlov spôsobené jedným prechodom sústavou. Pri prvom prechode lúčov, ktoré dopadajú kolmo na vstupnú pozrkadlenú plochu sústavy, rovná sa  $dr_1$  nule. Zmeny uhlov pri ďalších chodoch v smere dopadajúceho svetla alebo v smere opačnom sa dajú ľahko odvodiť vzorcom

(10) vložením hodnoty  $\frac{dr_4}{dl}$  za hodnotu  $\frac{dr_1}{dl}$ . Po dvoch odrazoch, teda pre  $\frac{d}{dl}$  dostenaneme takto

$$\begin{aligned} \frac{dr_4}{dl} &= \left( -\frac{6}{n_1} \operatorname{tg} \varphi_1 \right) \frac{dn_1}{dl}, \\ \frac{di_4}{dl} &= (-6 \operatorname{tg} \varphi_1) \frac{dn_1}{dl} \end{aligned}$$

a keď priamo predchádzajúci lúč označíme číslom 1 a ďalej zo sústavy po odrazoch vychádzajúce lúče číslami 2, 3, ...,  $h$ , platí pre  $h$ -ty lúč

$$\frac{dr_4}{dl} = -\frac{2(2h-1)}{n_1} \operatorname{tg} \varphi_1 \frac{dn_1}{dl}. \quad (11)$$

a tiež

$$\frac{di_4}{dl} = -2(2h-1) \operatorname{tg} \varphi_1 \frac{dn_1}{dl}.$$

V smere odpovedajúcim určitej hodnote  $(dl)_1$  vychádza teda z disperznej sústavy:

1. zväzok rovnobežných lúčov, ktoré prešli bez odrazu sústavou a vystupujú pod uhlom lomu

$$(-2 \operatorname{tg} \varphi_1) \frac{dn_1}{dl} (dl)_1;$$

2. zväzok rovnobežných lúčov, ktoré prešli 3 krát sústavou a vystupujú pod uhlom

$$(-6 \operatorname{tg} \varphi_1) \frac{dn_1}{dl} (dl)_2,$$

3. zväzok rovnobežných lúčov, ktoré prešli 5krát sústavou a vystupujú pod uhlom

$$(-10 \operatorname{tg} \varphi_1) \frac{dn_1}{dl} (dl)_3,$$

*h.* zväzok rovnobežných lúčov, ktoré prešli  $(2h-1)$  krát sústavou a vystupujú pod uhlom

$$-2(2h-1) \operatorname{tg} \varphi_1 \frac{dn_1}{dl} (dl)_h.$$

Aby všetky tieto lúče mali rovnaký smer, musí zrejme platiť

$$(dl)_1 = 3(dl)_2 = 5(dl)_3 = \dots = 2(2h-1)(dl)_h.$$

Mimo polohy  $m$  sa mení pri lúčoch optická dráha z pôvodnej hodnoty  $2n_1 M_1 \operatorname{tg} \varphi_1$ , pri jednom prechode sústavou. Zmena optickej dráhy sa dá vypočítať z rozšíreného vzorca

$$\Sigma nL = 2n_1 M_{1a} \operatorname{tg} \varphi_1 - 2M_{1a} \frac{\sin \varphi_2/2}{\cos \varphi_1}.$$

Ked' nemenime vzájomnú polohu disperzívnych hranolov, ostava  $\sin \varphi_2/2$  stále a  $M_{1a}$  je rovnako ako  $M_{1a}$  konštantu, určujúcu vzdialenosť dopadajúceho lúca od lomnej hraný prvého hrana. Preto je

$$\frac{d(\Sigma nL)}{d\lambda} = 2M_{1a} \operatorname{tg} \varphi_1 \frac{dn_1}{d\lambda}. \quad (12)$$

### Krivka priepustnosti sústavy

Uvedené vzťahy umožňujú postaviť všeobecný vzorec pre výslednú intenzitu svetla prepúštaného disperznou sústavou v závislosti od uhlov  $d_i$ , keď je nastavená na mň pre určitú vlnovú dĺžku. V danom smere, odlišnom od smeru kolmeho na druhú pozikadlennu plochu, teda pre  $i \neq 0$ , vychádza zo sústavy a vstupuje do objektívnu celý rad zrázkov lúčov, z ktorých každý prešiel párnym počtom odrazov na pozikadlenných plochách, a tieto lúče sa stretávajú v ohniškovej rovine objektívnu. Lúče prechádzajúce v rôznych vzdialostiach od lomných hrán disperzívnych hranolov prešli pritom opické dráhy zmienené pri každom prechode o

$$\frac{d(\Sigma nL)}{d\lambda} (d\lambda)_k = 2M_{1a} \operatorname{tg} \varphi_1 \frac{dn_1}{d\lambda} (d\lambda)_k$$

podľa vzorca (12).

Svetelné vlnenie v ohniškovej rovine je potom dané vzorcem (použiame pre spektroskopiu výhodnejšie vlnoty namiesto vlnových dĺžok,  $A_0$  je vstupná a  $A$  výstupná amplitúda vlnenia):

$$Af(t) = A_0 r$$

$$\left( \int_0^{M_1} \exp j \left[ 2\pi c(v_0 + (dv)_1) t - 4\pi(v_0 + (dv)_1) M_1 n_1 \operatorname{tg} \varphi_1 + \right. \right.$$

$$+ \frac{4\pi(v_0 + (dv)_1)}{v_0^2} \operatorname{tg} \varphi_1 \frac{dn_1}{d\lambda} (dv)_1 M_{1a} \left. \right] dM_{1a} + e \int_0^{M_1} \exp j \left[ 2\pi c \left( v_0 + \frac{(dv)_1}{3} \right) t - \right.$$

$$- 3 \cdot 4\pi \left( v_0 + \frac{(dv)_1}{3} \right) M_1 n_1 \operatorname{tg} \varphi_1 +$$

$$+ \frac{4\pi \left( v_0 + \frac{(dv)_1}{3} \right)}{v_0^2} \operatorname{tg} \varphi_1 \frac{dn_1}{d\lambda} \frac{(dv)_1}{3} M_{1a} +$$

$$\dots + \varrho^{(h-1)} \int_0^{M_1} \exp j \left[ 2\pi c \left( v_0 + \frac{(dv)_1}{(2h-1)} \right) t - \right. \\ - (2h-1) 4\pi \left( v_0 + \frac{(dv)_1}{2h-1} M_1 n_1 \operatorname{tg} \varphi_1 + \right. \\ \left. \left. \frac{4\pi \left( v_0 + \frac{(dv)_1}{(2h-1)} \right)}{v_0^2} \operatorname{tg} \varphi_1 \frac{dn_1}{d\lambda} \frac{(dv)_1}{(2h-1)} M_{1a} + \dots \right) \right] dM_{1a} + \dots$$

Po integrácii a po vylúčení časove premenných exponentov vychádza po prechode na trigonometricke funkcie

$$I = I_0 M_1^2 r^2 \left( \sum_{h=1}^{\infty} \varrho^{(h-1)} \frac{\sin \frac{v_0 + (dv)_1}{v_0^2}}{\frac{v_0 + 2h-1}{v_0^2} 2\pi M_1 \operatorname{tg} \varphi_1 \frac{dn_1}{d\lambda} (dv)_1} \right)^2$$

$$\cdot \cos \left( 4\pi M_1 n_1 \operatorname{tg} \varphi_1 (dv)_1 - 4\pi M_1 n_1 \operatorname{tg} \varphi_1 (2h-1) v_0 + \right.$$

$$+ \frac{v_0 + (dv)_1}{v_0^2} 2\pi M_1 \operatorname{tg} \varphi_1 \frac{dn_1}{d\lambda} (dv)_1 \left. \right)^2 +$$

$$+ \left[ \sum_{h=1}^{\infty} \varrho^{(h-1)} \frac{\sin \frac{v_0 + (dv)_1}{v_0^2}}{\frac{v_0 + 2h-1}{v_0^2} 2\pi M_1 \operatorname{tg} \varphi_1 \frac{dn_1}{d\lambda} (dv)_1} \right. \\ \left. \sin \left( 4\pi M_1 n_1 \operatorname{tg} \varphi_1 (dv)_1 - 4\pi M_1 n_1 \operatorname{tg} \varphi_1 (2h-1) v_0 + \right. \right. \\ \left. \left. \frac{v_0 + (dv)_1}{v_0^2} 2\pi M_1 \operatorname{tg} \varphi_1 \frac{dn_1}{d\lambda} (dv)_1 \right) \right]^2.$$

Ked' predpokladáme, že  $\delta = 2\pi k_0$ , môžeme vyniechať druhé členy

$$4\pi M_1 n_1 \operatorname{tg} \varphi_1 (2h-1) v_0$$

v argumentoch funkcie cos a sin v guľatých zátvorkách. Prvé členy sa dajú potom vyjadrí skratene

$$4\pi M_1 n_1 \operatorname{tg} \varphi_1 (dv)_1 = k_0 \pi \frac{(dv)_1}{v_0}. \quad (13a)$$

Podobne aj časť argumentu funkcie  $\sin$  a deliteľa pred gulfatými závorkami sa dá výjadriť vo vzťahu k interferenčnému radu  $k_0$ , lebo

$$2\pi M_1 \operatorname{tg} \varphi_1 = \frac{k_0 \pi}{2n_1 v_0} = K. \quad (13b)$$

Po týchto úpravách sa vzorec (13) zjednoduší na

$$\begin{aligned} I &= I_0 M_1^2 \tau^2 \left( \left[ \sum_{h=1}^{\infty} e^{(h-1)} \frac{\sin w}{w} \right]^2 + \right. \\ &\quad \frac{v_0 + \frac{(\mathrm{d}v)_1}{2h-1}}{v_0^2} K \frac{dn_1}{dl} (\mathrm{d}v)_1 \\ &\quad \left. - \frac{v_0 + \frac{(\mathrm{d}v)_1}{2h-1}}{v_0^2} K \frac{dn_1}{dl} (\mathrm{d}v)_1 \right. \\ &\quad \left. \cdot \cos \left( k_0 \pi \frac{(\mathrm{d}v)_1}{v_0} + \frac{v_0 + \frac{(\mathrm{d}v)_1}{2h-1}}{v_0^2} K \frac{dn_1}{dl} (\mathrm{d}v)_1 \right) \right]^2 + \\ &\quad + \left[ \sum_{h=1}^{\infty} e^{(h-1)} \frac{\sin \frac{v_0 + \frac{(\mathrm{d}v)_1}{2h-1}}{2h-1} K \frac{dn_1}{dl} (\mathrm{d}v)_1}{v_0^2} \right. \\ &\quad \left. - \frac{v_0 + \frac{(\mathrm{d}v)_1}{2h-1}}{v_0^2} K \frac{dn_1}{dl} (\mathrm{d}v)_1 \right] \end{aligned}$$

Zo vzorca (14), resp. (17) vyplýva, že intenzita osvetlenia v ohniškovej rovine je funkciou pomery  $\frac{\sin w}{w}$ , ktorý význam má vplyv ohybu lúčov na obdĺžnikový výsek vlnoplochy prechádzajúci disperznými hranolmi. Veľkosť  $I$  závisí od interferencii medzi jednotlivými  $2(h-1)$  krát odrazenými zväzkami lúčov majúcich vlnočet od  $v_0 + (\mathrm{d}v)_1$ , až do  $v_0$ .

Pre ľahčie prechádzajúce disperznou sústavou v mód bude  $(\mathrm{d}v)_1 = 0$ ,  $\frac{\sin w}{w} = 1$

a vzorec (17) sa zjednoduší na

$$I = I_0 C \tau \left( \sum_{h=1}^{\infty} e^{(h-1)} \right)^2 = I_0 C \frac{\tau^2}{(1-\varrho)^2}. \quad (18)$$

Keď predpokladáme absorpciu na pozkadených plochách a v hranoloch zanedbatelné malú, môžeme písť  $\tau = 1 - \varrho$ , takže dostaneme nakoniec

$$I = I_0 C,$$

čo odpovedá výsledku, aký dosťavame pre maximá vo FP interferometri.

Podiel  $\frac{\sin w}{w}$  je symetrická funkcia rozdielu  $(\mathrm{d}v)_1$ . V zjednodušenom tvare (17) vzťahu určujúceho  $I$  ľahko vidime, že funkcia  $I = f((\mathrm{d}v)_1)$  má v rozsahu svojej platnosti, teda pre malé  $(\mathrm{d}v)_1$ , známy priebeh s maximom pre  $(\mathrm{d}v)_1 = 0$  a s postupným poklesom na obidve strany od maximálnej hodnoty. Keď prechádza disperznou sústavou žiarene majúce spojité spektrum, vylíci sústava z neho (pri zanedbateľnej absorpcii) žiarenie odpovedajúce minimu deviácie, ktoré prejde sústavou teoreticky bez strát. Žiarenie o vlnočtoch blízkych vlnočtu minima deviácie prechádza cez sústavu s tým väčšími stratami, čím je odchyľka  $(\mathrm{d}v)_1$  od vlnočtu žiarenia v mód väčšia.

Okrém maxima pre  $(\mathrm{d}v)_1 = 0$  má krivka pre  $I = f((\mathrm{d}v)_1)$  len málo výrazné maximá pre  $w = 1,43; 2,46; \dots$ . Prvé minimum funkcie  $\frac{\sin w}{w}$  pre  $w = \pi$  odpovedá zrejmé rozlišovacej schopnosti danej známym Rayleighovým vzorcом

$$I \doteq I_0 M_1^2 \tau^2 \left[ \left( \sum_{h=1}^{\infty} e^{(h-1)} \frac{\sin w}{w} \cos \left( k_0 \pi \frac{(\mathrm{d}v)_1}{v_0} + w \right) \right)^2 + \right. \\ \left. + \left[ \sum_{h=1}^{\infty} e^{(h-1)} \frac{\sin w}{w} \sin \left( k_0 \pi \frac{(\mathrm{d}v)_1}{v_0} + w \right) \right]^2 \right]. \quad (16)$$

a zrejme tiež

$$I = I_0 C \tau^2 \left[ \sum_{h=1}^{\infty} \left( e^{(h-1)} \frac{\sin w}{w} \right)^2 \right], \quad (17)$$

kde  $C$  je konštantá úmerná rozmerom účinnnej časti vlnoplochy. Pre stručnosť budeme v ďalšom prvú časť vzorca (14) s  $\cos \left( k_0 \pi \frac{(\mathrm{d}v)_1}{v_0} + w \right)$  označovať písmenom  $A_h$

a druhú časť so  $\sin \left( k_0 \pi \frac{(\mathrm{d}v)_1}{v_0} + w \right)$  písmenom  $B_h$ .

Vďaka vzoru (17) význam má vplyv ohybu lúčov na obdĺžnikový výsek vlnoplochy prechádzajúci disperznými hranolmi. Veľkosť  $I$  závisí od interferencii medzi jednotlivými  $2(h-1)$  krát odrazenými zväzkami lúčov majúcich vlnočet od  $v_0 + (\mathrm{d}v)_1$ , až do  $v_0$ .

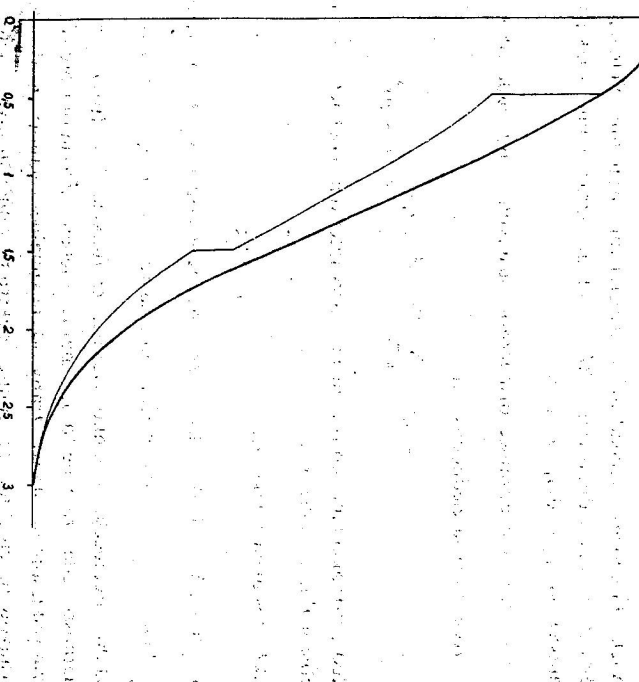
pre disperznú sústavu Youngovu-Thollonovu bez reflexných plôch a majúcim rovnakým tvárom ako vzorec (12), ktorý sme odvodili pre zmenu optickej dĺžky lúčov so zmenou vlnovej dĺžky pri sústave, ktorú skúname.

Rad vyjadrený vzorecom (14) je konvergentný, obidve časti radu  $\mathbf{A}_h$  i  $\mathbf{B}_h$ , sú súčiny veličín menších ako 1.

Pri numerickom výpočte sa uvažovali hranoly z flintového skla F 620/363 ( $n_p = 1,6200$ ). Hranoly mali vstupné a výstupné plochy  $4 \times 4 \text{ cm}^2$  veľké ( $M_1 = 4 \text{ cm}$ ).

**Poznámka:** Aby v našom príklade mohlo byť  $k_0 = 301\,138$ , bolo potrebné predpokladať, že  $M_1$  nie je presne 4 cm, ale že je o  $0,7 \cdot 10^{-5} \text{ cm}$  kratšie, teda  $M_1 = 3,999\,993 \text{ cm}$ .

### Diskusia



Obr. 5 Krivka  $I/I_{\max} = f(dv)$  pre  $\nu_1 = 2,204 \text{ cm}^{-1}$ . Slabo vytiahnutá krivka dáva

$$I/I_{\max} = f(dv) = 0,405, \text{ dôležitej pri obyčajných disperznych spektrogradoch}$$

pre určenie rozlišovacej schopnosti, odpovedá  $(dv)_1 = 1,477\,54 \text{ cm}^{-1}$  ( $= -0,369 \text{ \AA}$ ).  
Pre  $\nu_0 = 2 \cdot 10^4 \text{ cm}^{-1}$  (5000 \AA) bola hodnota  $K = 14,51\,37$ . Prvé minimum krivky  $I = f((dv))$  pre  $\omega = \pi$  odpovedá hodnote  $(dv)_1 = 2,955 \text{ cm}^{-1}$  ( $= -0,739 \text{ \AA}$ ).

Hodnote  $\left(\frac{\sin \omega}{\omega}\right)^2 = 0,405$ , dôležitej pri obyčajných disperznych spektrogradoch pre určenie rozlišovacej schopnosti, odpovedá  $(dv)_1 = 1,477\,54 \text{ cm}^{-1}$  ( $= -0,369 \text{ \AA}$ ).  
Na obr. 6 je nakreslená krivka  $\frac{I}{I_{\max}} = \left(\frac{\sin \omega}{\omega}\right)^2$ , známa z teórie difrakčných javov.

Z uvedených výpočtov viďte, že disperzné zariadenie kombinované so vstupnou a výstupnou časťou pozkradenou plochou funguje medzi objektívmi kolimatora a dalekohľadu ako svetelný filter, ktorý prepíša žiarenie selektívne podľa krivky  $I = f((dv))$ . Opísané zariadenie by sa dalo použiť ako monochromatický filter alebo v spojení s objektívnym fotoreceptorm ako spektrometer.

Disperzia prístroja je dana rozsahom zmení uhlov  $\varphi_2$  medzi disperznými hranolmi. Medzi 8000 a  $4000 \text{ \AA}$  je (pre sklo F 620/363)  $\Delta\varphi_2 = 4^\circ 35\,18'$ . Ako ukazuje výpočet, bolo by prístrojom možno rozoznať pre toto sklo ešte aspoň  $3 \text{ cm}^{-1}$ , teda  $dl = 0,74 \text{ \AA}$ , pri  $\lambda = 5000 \text{ \AA}$ . Treba však zdôrazniť nutnosť presnej justácie hranolov tak, aby pre medzi jednotlivé čiastkové odrazené zrázky boli vzájomne vo fáze ( $\delta = k_0 \cdot 2\pi$ ). Potrebne justačné zariadenie by malo umožniť postavenie obidvoch hranolov do polohy s lomnými hranami čo najpresnejšie rovnobežnými. Aby odchýlka od rovnobežnosti nebola na prekážku funkcií, nesmie po celej výške hranola kolmo na hlavný rez presiahnuť polovicu vlnovej dĺžky sveta. Pri výške hranola 40 mm to odpovedá odchýlka od rovnobežnosti maximálne 1 uhlové sekundy. Keďže však treba počítať s možnosťou pyramidítov dvoch hranolov, bolo by žiaduce neprekročiť ani v pyramidite hranolov ani vo vzájomnom sklonе lomných hran tretiu tejto hodnoty, to je  $0,50$  uhl. sekund. Pritom predpokladáme, že optický učinné plochy hranolov by boli rovinné s presnosťou bežnou pri FP interferometroch, t.j. pod  $1/20$ .

Pre využitie selektívnosti disperznej sústavy by bolo treba mať možnosť nastaviť uhol  $\varphi_2$  približne s presnosťou na  $1/1000$  stupňa, čo odpovedá asi  $3-4$  sekundám. Pri prechode z polohy  $m$  pre jednu vlnovú dĺžku do polohy  $m+1$  pre inú vlnovú dĺžku bolo by treba natočiť hranoly okolo priesecníka 2. a 3. plochy, ale aj mikroposuvom nastaviť tak, aby sa spinila podmienka  $\delta = k_0 \cdot 2\pi$ .

Keďže ide o interferenčný prístroj, bolo by treba obzvlášť pri konštrukcii nosných súčasti disperznej sústavy voliť tvár a materiál súčiastok tak, aby nevznikali deformacie vplyvom malých teplotných zmien, príčom je na mieste žiadať, aby sa prístroj používal len pri ustálenej teplote v miestnosti temperovannej na stálu teplotu  $\pm$  asi  $0,1^\circ \text{C}$ .

Ako sme už spomenuli, vytvárajú kosé lúče po obidvoch stranach maxima v polohe  $m$  vedľajšie maximá. Pre disperzny hranol zo skla F 620/363,  $M_1 = 4 \text{ cm}$ ,  $\varphi_1 = 30^\circ$ , vytvoria sa tieto maximá pre kosé uhly  $\varepsilon$  odpovedajúce vzáruhu

$$4M_1n_1 \operatorname{tg} \varphi_1 \cos \varepsilon = k_0 l \cos \varepsilon = (k_0 - 1) \lambda_0,$$

teda pre

$$4M_1 n_1 \operatorname{tg} \varphi_1 \frac{\varepsilon^2}{2} = 1. \quad (24)$$

Kedže sme počítali s hodnotou  $k_0 = 301.138 = 4M_1 n_1 \operatorname{tg} \varphi_1 \cdot v_0$ , vychádza

$$\frac{\varepsilon^2}{2} = \frac{1}{301.138}$$

a konečne  $\varepsilon = 0,00258$  rad.

Pri FP interferometri zaberajú šírky kriviek rozdelenia svetelnej intenzity v maximach merané vo výške okolo  $I_{\max}/2$  asi len 1/10 až 1/60 vzdialenosť medzi maximami. Bude teda šírka maxim v smere kolmom na hlavný rez okolo 0,00026 rad. Pre objektív dalekohľadu s ohniskovou vzdialenosťou  $f = 500$  mm by bola šírka jednotlivých maxim asi 0,130 mm a ich vzájomná vzdialenosť 1,30 mm. Použitím vhodnej valcovej šošovky s osou kolmou na hlavný rez disperznej sústavy spolu s objektívom dalekohľadu by tieto maximá splynuli v jednotlative čiaru v ohniskovej rovine objektív.

Podľa Thollonovho vzorca by sa kosé lúče mali v disperznej sústave lámat tak, ako by hranol mal o niečo vyšší index lomu než pre lúče rovnobežné s hlavným rezom sústavou. Pre prvé maximum by príastok daný vzťahom

$$\Delta n = \frac{n^2 - 1}{2n} \varepsilon^2$$

bol pre sklo F 620/363 menší než  $0,6 \cdot \varepsilon^2$  a teda je rozhodne zanedbateľný. Preto tiež môžeme zanedbať spomenný posuv polohy maxima prieplustnosti pre kosé maximá.

Vo výpočtoch sme nedbali na ohyb svetla spôsobený obmedzením vlnoplochy výskoku hranolov. Tento ohyb má v našom prípade vplyv len na rozdielenie svetelnej intenzity v smere kolmom na rovinu hlavného rezu, teda na šírku kosých maxim, a možno ho považovať za sekundárny, ako sa to robi bežne pri výpočtoch rozdielenia svetla u FP interferometrov.

Monochromátor, v ktorom by sa použila navrhovaná sústava, nevyžaduje, aspoň teoreticky, aby doň prichádzali len lúče z úzkej štrbiny kolimátora, lebo jeho pripustnosť ostáva maximálna (ked je  $\delta = 2\pi \cdot k_0$ ) len pre lúče prechádzajúce v polohe md. Nie je teda bezpodmienečne nutné vybaviť prístroj vstupnou štrbinou a je možné umiestiť zdroj priamo do ohniskovej roviny kolimátora. Obdobne je aspoň teoreticky možné predpokladať, že taký monochromátor by nepotreboval výstupnú štrbinu, lebo krivka  $I = f((dv)_1)$  izoluje už sama len obmedzenú oblasť spektra.

Pre vysoké požiadavky na monochromatičnosť prepriepáchaného svetla možno predpokladať použitie dvoch za sebou postavených disperznych sústav. Kedže by každá fungovala ako úzkopásový filter, mohli by sa obidve sústavy postaviť tak, aby sa ich disperzie vzájomne odčíali. Tak by bolo možné získať priamohľadný mon-

chromátor vysokej rozlišovacej schopnosti s jasom pozadia mimo prepriepášanej oblasti rovný prakticky nule.

Disperznou sústavou prešle žiarenie má jednoduché zloženie len v smere odpovedajúcom minimu deviácie. So vzrástrom uhla  $di_4$  pribúda v žiareni zložiek s vlnočtom  $v_0 + (dv)_1$ . Pre každý smer daný uhlom  $di_4$  sa  $(dv)_1$  mení od 0 do hodnoty

$$(dv)_1 = \frac{v_0^2 di_4}{2 \operatorname{tg} \varphi_1}. \quad (28)$$

Zaujímavé použitie môže mať navrhovaná disperzná sústava pri meraní a porovnaní dobre definovaných farebných zmesí. Keď použijeme hranoly z dvojložkového materiálu, pri ktorom časť disperznej krivky pre riadny lúč je v oblasti rovnakých indexov lomu ako časť disperznej krivky pre mimoriadny lúč, bude určiťa poloha hranolov v mreži vypočítať dvom vlnovým dĺžkam svetla a pre tieto dve vlnové dĺžky bude sústava vyzávať maximálnu prieplustnosť. Pre kryštalický kremenn kolmo na optickú os máme údaje v tab. 1.

Tabuľka 1

$\lambda \text{ v } \text{\AA}$	$n_{\text{ord}}$	$n_{\text{extraord}}$	$\lambda \text{ v } \text{\AA}$
7682 (A')	1,539 03		
6563 (C)	1,542 25		7682 (A')
5876 (d)	1,544 29	1,547 94	6563 (c)
4861 (F)	1,549 66	1,551 29	5876 (d)
4338 (g)	1,553 77	1,553 39	4861 (F)
4047 (h)	1,557 06	1,558 96	4338 (g)
		1,563 18	

Môžeme takto vytvárať zmesi dvoch pomerne vzdialých spektrálnych o-

Keby sa použil na výrobu hranolov materiál, ktorého dvojlohom sa da meniť napr. pri vŕazdaní rôzneho potenciálového rozdielu na priložené elektrody, bolo by možné meniť spektrálnu odľahlosť obidvoch prepriepávaných oblastí. Také zariadenie by malo význam vo farebnnej fotometrii a vo fyziologickej optike pre štúdium farebného videnia.

Dosiaľ sme sa zaoberali disperznou sústavou s pomerne veľkými lomnými uhlami  $\varphi_1 = 30^\circ$ . Zo vzťahov (13) a (14) a ďalších vidieť, že intenzita prešlého svetla sa nezmiení, ak namiesto uvažovaných hranolov použijeme hranoly (kliny) s lomným uhlom rovným  $\operatorname{arc} \frac{\operatorname{tg} 30^\circ}{10}$  a ak súčasne zväčšíme v tom istom pomere  $(dv)_1$ , teda keď vezmeme  $(dv)_1 \times 10$ . Taká sústava dvoch klinov bude predstavovať monochromátor s približne 10krát širšou oblasťou prieplustnosti a môže pri postavení medzi dvoma objektívmi slúžiť ako pásmový filter. V našom prípade môžeme pre

posúdenie takého pásmového filtra použiť výsledky výpočtov pre sústavu s  $\varphi_1 = 30^\circ$  len s tou zmenou, že uvedené výpočty vzťahme na hodnoty  $(dv)_1$  10 krát väčšie. Pásmový filter vytvorený dvoma klinmi s lomnými uhlami  $\varphi_1 = \varphi_3 = 3^\circ 30450$  ( $\text{tg } \varphi_1 = 0,0577\ 350$ ) by mal prvé minimálne prieplustnosti pre  $(dv)_1 = 29,6 \text{ cm}^{-1}$  ( $= -7,4 \text{ \AA}$ ). Menením uhlia  $\varphi_2$  medzi klinmi sa oblasť prieplustnosti da nastaviť podľa potreby.

Pri použíti klinov alebo hranolov so značne menším lomným uhlom  $\varphi_1$  sa tiež približne v pomere tangent lomných uhlív zväčší vzdialenosť kosoščíkových maxim, a preto by mohlo odpadnúť navrhované použitie valcovej šošovky pre vytvorenie jedno-

latejšieho obrazu v polohe minima deväťačie.

Zo vzorca pre  $I$  (13) a (14) sa dá usúdiť na zmeny šírky preprúšaného pásma pre rôzne vlnočty. Keďže pri prechode z dlhovlnnej oblasti do krátkovlnnej sa vo viditeľnom spektri vlnočet zdvojnásobní a veličina  $dv/d\lambda$  sa pri flintových sklákach približne zdesatotrošnásobí, bude veličina  $w$  pre fialový koniec spektra približne 5 krát väčšia. Keď usudzujeme obdobne ako v predchozom odseku, vidime, že šírka preprúšanej oblasti sa bude smerom ku krátkovlnnému koncu spektra niekoľko ráz zmenšovať.

Pri posudzovaní funkcie navrhanej disperznej sústavy vychádzali sme dosiaľ z predpokladu, že sústava je osvetlovaná zdrojom svetla so spojitým spektrom rovnakého jasu v celom rozsahu viditeľného spektra. Z tohto predpokladu sme vydobili tvar krivky pre  $I((dv)_1)$ . V našom príklade použité hranoly pri  $M_1 = 4 \text{ cm}$  a pri  $\varphi_1 = 30^\circ$  dávali by v pôvodnej Youngovej-Thollonovej sústave rozlišovaciu schopnosť  $\left| \frac{\lambda}{d\lambda} \right| = \left| \frac{v}{dv} \right| = 6768$  pre vlnovú dĺžku  $5000 \text{ \AA}$ . Podľa Rayleighovho kritéria by bolo treba brať šírku krivky vo výške  $I/I_{\max} = 0,405$ , i keď toto kritérium v našom prípade má význam viac-menej konvenčný. Keď predpokladáme, že v ohniskovej rovine objektívnu je objektívny receptor (napr. fotónka alebo fotonásobič), je pravdepodobné, že by registroval zmeny intenzity asi od  $2\% I_{\max}$ , takže by bolo možné odlišiť od seba dve spektrálne čiary v oveľa väčšom približení než podľa Rayleighovho kritéria. Zásadne však nemá navrhovaná sústava vyšiu teoretickú rozlišovaciu schopnosť ako v ideálnom prípade bežných hranolových monochromatórov s nekonečne úzkymi štrbinami.

Pre rozlišenie dvoch spektrálnych čiar, teda pri nespojitej spektri budú pomery výhodnejšie než pri spojitej spektri. Pre jednoduchosť predpokladajme, že spektrálna čiara predstavuje výsek zo spektra zdroja konštantného jasu o šírke  $2(dv)_1$  so stredom pri vlnočte  $v_0$ . Keď nastavíme disperznú sústavu na mŕtveho  $v_0 + (dv)_1$ , bude žiarenie tohto vlnočtu prechádzať s maximálnou intenzitou. Lúč vlnočtov  $v_0 + (dv)_1$  a  $v_0 - (dv)_1$  budú vychádzať zo sústavy po  $2, 4, 6, \dots$  odrazoch v rôznych smeroch daných vzorcami (11) pre  $d\lambda_4$ . Mimo intervalu  $v_0 \pm (dv)_1$ , ubudnú vo vzorci  $I = f((dv)_1)$  najprv prvé členy ( $h = 1$ ); po prechode cez uhol  $d\lambda_4$ , ktorý odpovedá  $h = 2$  pre  $\pm (dv)_1$ , ubudnú aj druhé členy atď. Dostaneme tak novú krivku (obr. 6), ktorá udá, ako svetlo intervalu  $v_0 + (dv)_1$  prechádza disperznou sústavou. V krivke (17) môžeme nahrať  $(dv)_1$  uholom  $d\lambda_4$  podľa vzorca (11). Rozdelenie sve-

telnej intenzity po výstupe z disperznej sústavy v obraze pozorovanej spektrálnej čiary udá vzorec (17), ak v ňom odstránime primárne členy pri výpočte  $I$  pre  $dv$  mimo intervalu  $\pm (dv)_1$ , sekundárne členy pri výpočte pre  $dv$  mimo intervalu  $\pm 3(dv)_1$  atď.; všeobecne, ak odstránime  $h$ -te členy pri výpočte mimo intervalu  $\pm (2h - 1) \cdot (dv)_1$ . Čím užší bude interval  $\pm (dv)_1$ , tým bude výsledná krivka rozdelenia intenzity svetla v ohniskovej rovine objektívnu strmšia a užšia, takže pre jemné spektrálne čiary môžeme dosiahnuť podstatne vyšiu rozlišovaciu schopnosť, než vyplýva zo vzťahu (17).

V tejto práci sa neuvažoval vplyv absorpcie na plochách disperznej sústavy a v skle

hranolov, nepočalo sa s prípadnými fázovými posuvmi svetla vplyvom zrkadiacich plôch a nerozlišili sa koeficienty  $\theta$  a  $\tau$  pre obidva možné smery prechodu cez zrkadlá.

Tieto koeficienty sa považovali za nemenné vzhľadom na vlnovú dĺžku svetla.

Vplyv absorpcie, ktorý by sa aspoň častočne v disperznej sústave prejavil, zmenší by sa podstatne použitím dielektrických multivrstiev. Vplyv fázových posuvov na zrkadiach je podľa Meggersových meraní dosťatočne malý a nenaruší v podstate vypočítané výsledky.

Nepriaznivo môžu vlastnosti sústavy ovplyvniť nerovnosti plôch hranolov a pri padne nehomogenity v skle a v zrkadiacich vrstvach. Tak ako u FP interferometrov budú tieto vplyvy rást s vlnočtom použitého svetla.

I keď vezmeme do úvahy všetky nepriaznivé vplyvy, ktoré môžu zhoršiť vlastnosti navrhanej disperznej sústavy, treba konštatovať, že navrhovanú sústavu možno užitočne použiť v spektroskopii viditeľnej oblasti a oblasti IR a UV. Oproti znanym modifikáciám FP interferometra a oproti spektroskopom so stredou a vysokou rozlišovacou schopnosťou má okrem uvedených vlastností a pri teoreticky rovnej rozlišovacej schopnosti ako pri spektroskopoch niektoré výhody:

1. Spoľahlivosť meraných výsledkov, ktorá nie je narušená parazitnými reflexami, „dchumi“ a podobnými javmi, keďže vedľajšie maximá krivky  $I = f((dv)_1)$  sú hiboko pod urovňou  $I_{\max}$ .

2. Široká použiteľnosť v celej oblasti optických skúmaných elektromagnetických žiareni, čo kontrastuje s bežnou vlastnosťou disperzných a interferenčných spektrálnych prístrojov, ktoré pri väčšej rozlišovacej schopnosti majú obyčajne malý rozsah použiteľnosti a veľká rozlišovacia schopnosť je sprevádzaná nízkou svetelnosťou. Pri navrhovanej sústave odpadá nebezpečenstvo rušivého prekrycia rôznych interferenčných radov.

## Záver

Predložená práca obsahuje návrh novej disperznej sústavy využívajúcej mnogoobsobné interferencie svetla, ktorú možno použiť:

1. ako monochromátor strednej až vysokej rozlišovacej schopnosti bez štrbin, bez reflexov a rušivých prekrytov interferenčných javov rôznych interferenčných

radov pri teoretickej maximálnej prieplustnosti rovnej 1 a s možnosťou spojiť meniť polohu prepuštanéj oblasti;

2. ako širokopásové filtrovacie zariadenie pri použíti hranolov o malých lomných uhloch a s možnosťou meniť spojito polohu prepuštanéj oblasti.

## LITERATÚRA

Čs. patent č. 97 210 z 15. 6. 1959.

Doslo 21. 2. 1960.

*Laboratórium meracích prístrojov  
Slovenskej akadémie vied  
v Bratislave*

## НОВАЯ ИНТЕРФЕРЕНЦИОННО-ДИСПЕРСНАЯ СИСТЕМА

Яромир Гайдя

### Резюме

В статье описывается новая интерференционно-дисперсионная система с многократно отраженными пучками. Проверяются оптические свойства этой системы и возможность ее использования как монокроматора со средней и большой разрешающей способностью без щелей и без рефлексов и паразитных интерференционных изображений. Для этого можно воспользоваться высокой максимальной прозрачностью системы (которая теоретически равна 1) для узкого интервала длин волн спектра и совсем полной непрозрачностью вне этого интервала. Путем изменения взаимоположения частей системы можно непрерывно изменять положение интервала пропускания в спектре; система представляет таким способом новый вид оптического фильтрующего устройства.

## A NEW INTERFERO-DISPERSING SYSTEM

Jaromír Hajda

### Summary

A new dispersing system using multiple interference of light is described. Optical properties of this system are examined and possibilities of utilisation as monochromator of middle and high resolution are discussed. The system is free from disturbing reflections and parasitary interference phenomena. It can be utilised without slits.

Except a narrow transparency zone (with a theoretical transparency near to unity) the system is practically opaque in the whole rest of the spectrum. On varying the relative position of components of the system, we can set the transparency zone in any part of the spectrum.